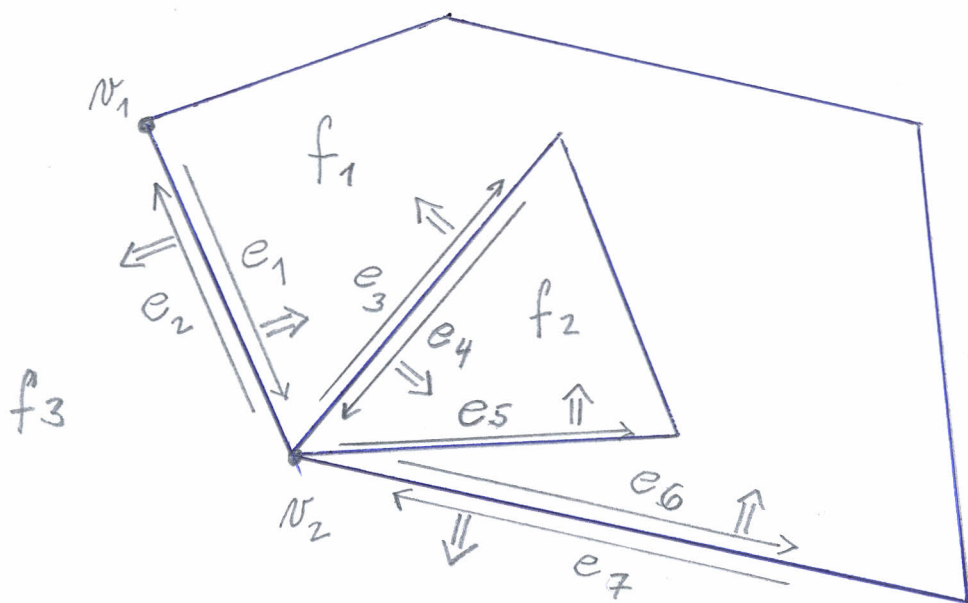


Pod tento obrázek nato vedle
dal' stejný obrázek, jenom
všechny úsečky jsou černé.

Obrázek 3.1

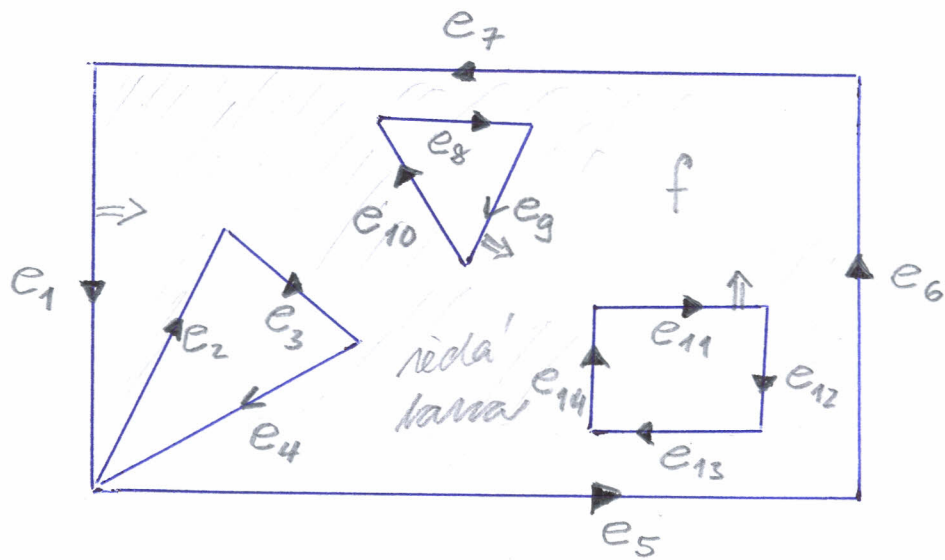
Popis: Překrytí červené a modré mapy, výslední
černou mapu.



Oblasť f_3 pomedzi líčou, f_1 a f_2 obsahujú najmä
 vnútorné hrany.

Obrazek 3.2

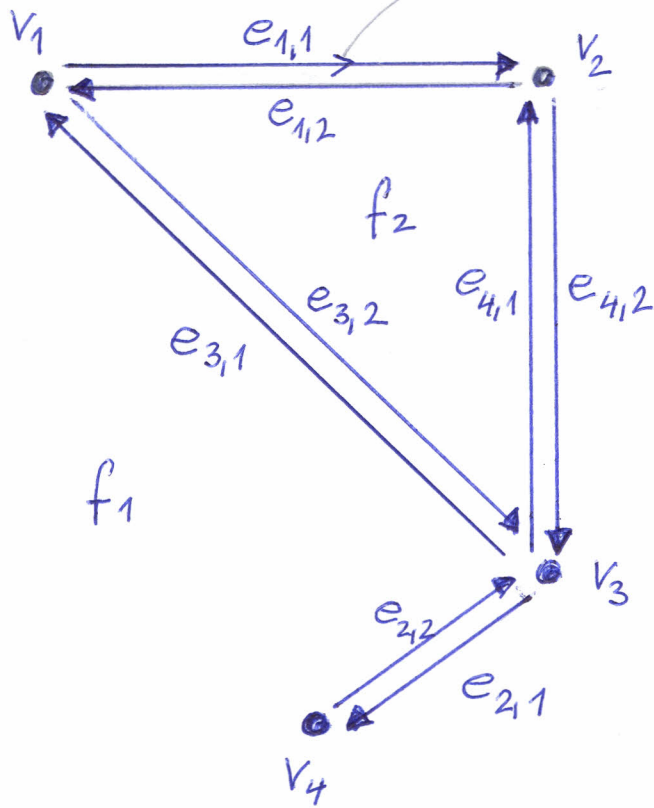
Popis: Hrana e_1 susedí s oblasťou v_1 , e_2 je dvojčís-
 lom e_1 , oblasť f_1 je priľahlá k hranám
 e_1 , e_3 a e_6 . Nasledníkom hrany e_1
 je e_3 (nikoliv e_6), predchádzcom
 hrany e_2 je e_7 .



Obra'zek 3.3

Popis: Postupnost hran $e_1, e_2, e_3, e_4, e_5, e_6, e_7$
 je největším cyklem oblasti f , postupnosti
 e_8, e_9, e_{10} a $e_{11}, e_{12}, e_{13}, e_{14}$ jsou vnitřní
 cykly oblasti f

Tuľa
nípla
nematerial



Obra'zek 3.4

Priklad jednoduche'ho rovinného podordeleni'.

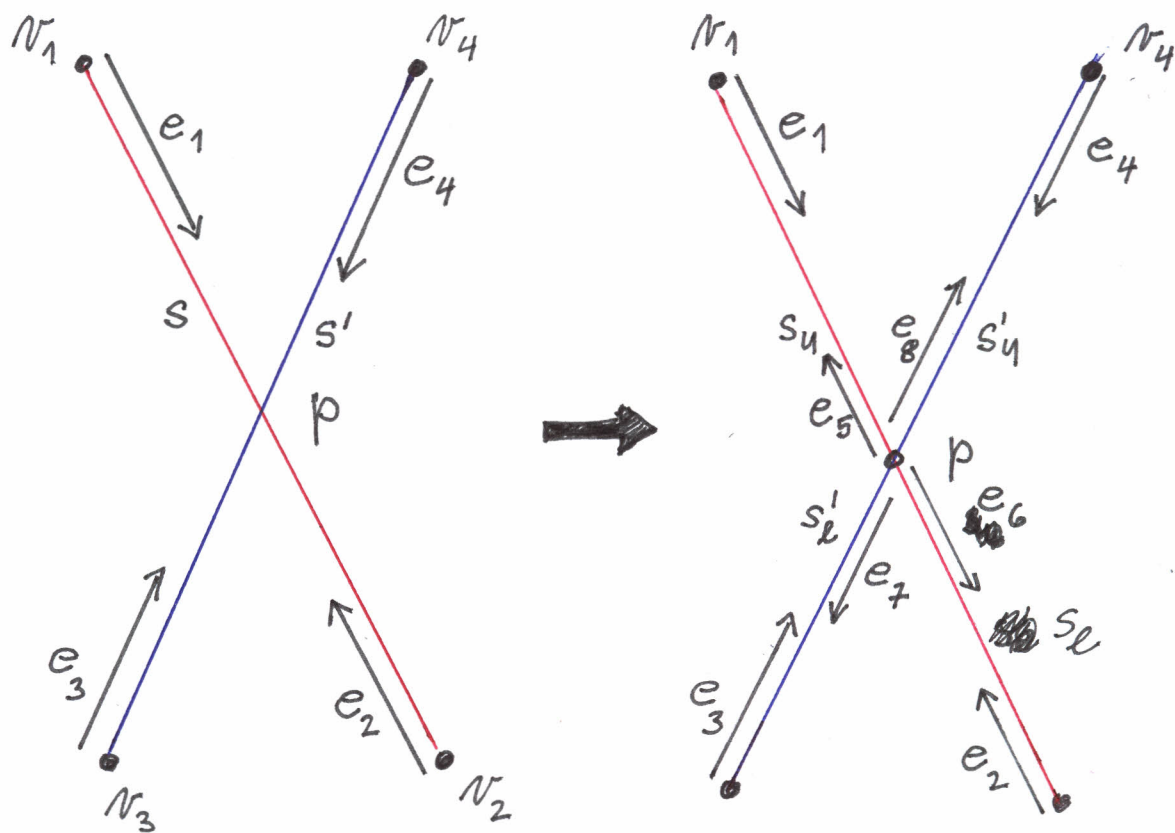
Vrchol	souřadnice	vycházející hrana
v_1	(0, 4)	$e_{1,1}$
v_2	(2, 4)	$e_{4,2}$
v_3	(2, 2)	$e_{3,1}$
v_4	(1, 1)	$e_{2,2}$

Hrana	Počátek	Dvojče	Next	Prev	Prilehlá oblast
$e_{1,1}$	v_1	$e_{1,2}$	$e_{4,2}$	$e_{3,1}$	f_1
$e_{1,2}$	v_2	$e_{1,1}$	$e_{3,2}$	$e_{4,1}$	f_2
$e_{2,1}$	v_3	$e_{2,2}$	$e_{2,2}$	$e_{4,2}$	f_1
$e_{2,2}$	v_4	$e_{2,1}$	$e_{3,1}$	$e_{2,1}$	f_1
$e_{3,1}$	v_3	$e_{3,2}$	$e_{1,1}$	$e_{2,2}$	f_1
$e_{3,2}$	v_1	$e_{3,1}$	$e_{4,4}$	$e_{1,2}$	f_2
$e_{4,1}$	v_3	$e_{4,2}$	$e_{1,2}$	$e_{3,2}$	f_2
$e_{4,2}$	v_2	$e_{4,1}$	$e_{2,1}$	$e_{1,1}$	f_1

Oblast	Vnější cyklus	Vnitřní cykly
f_1	—	$e_{3,1}$
f_2	$e_{1,2}$	—

Tabulka 3.1

Dvojice souvislý seznam po redistribuci z obrázku 3.4



V každém obánu nejme' delhy úsek,
 $s, s', s_u, s'_u, s_e, s'_e$ (L je male' L) označt
 jinou barvou než e_1, \dots, e_8 a' p, v_1, \dots, v_4 .

Obrázek 3.5

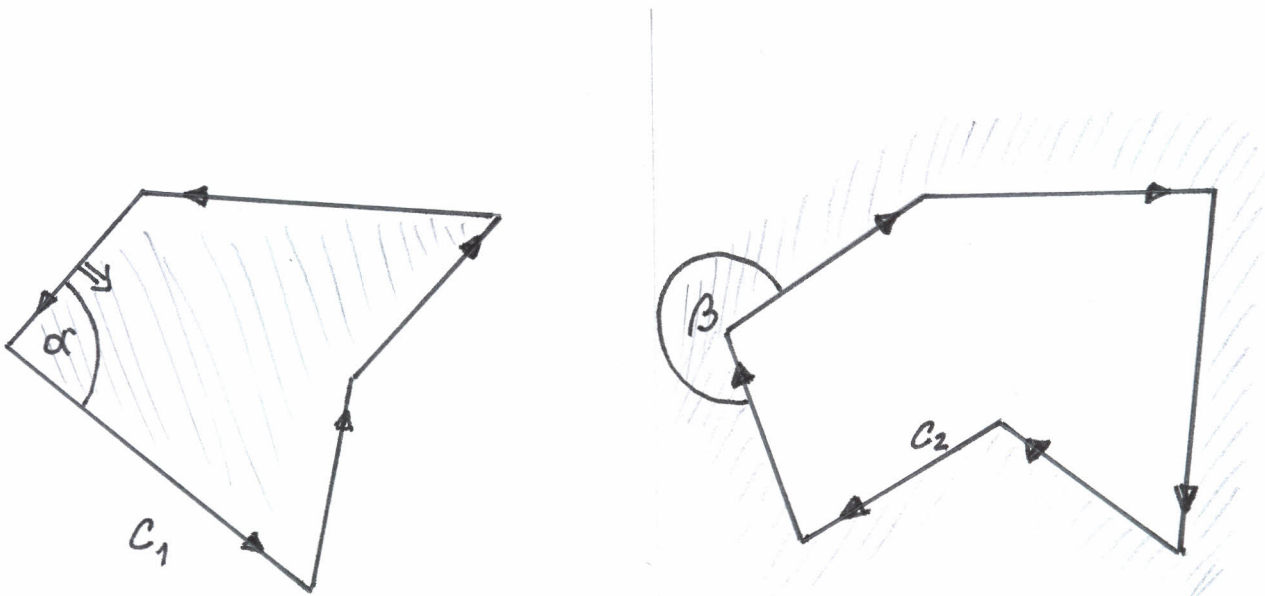
Přidání a nové označení úsečt a hran.

Vrchol	souřadnice	vycházející hrana
p	(1, 2)	e ₅

Tabulka 3.2

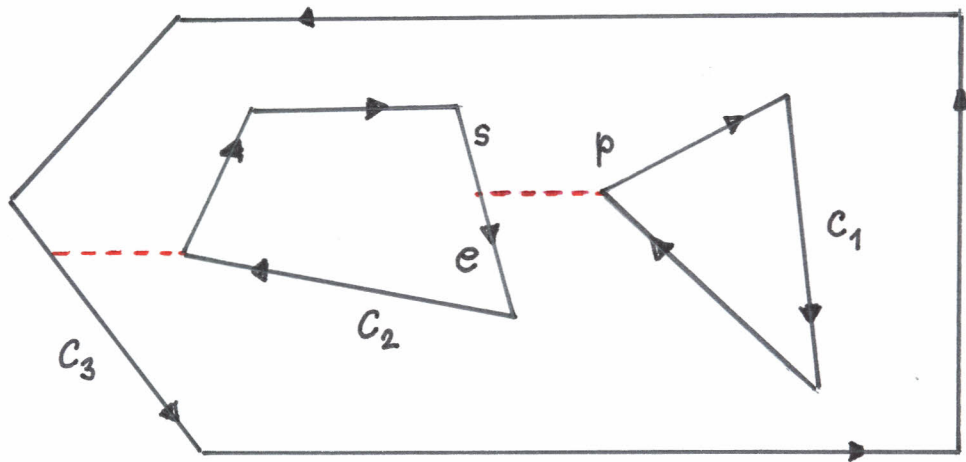
Hrana	Počátek	Dvojče	Next	Prev	Prilehlá oblast
e ₁	v ₁	e ₅	e ₈	ponoča'me	poneča'me
e ₅	p	e ₁	stejná jako na e ₂	e ₃	stejná jako na e ₂

Tabulka 3.3



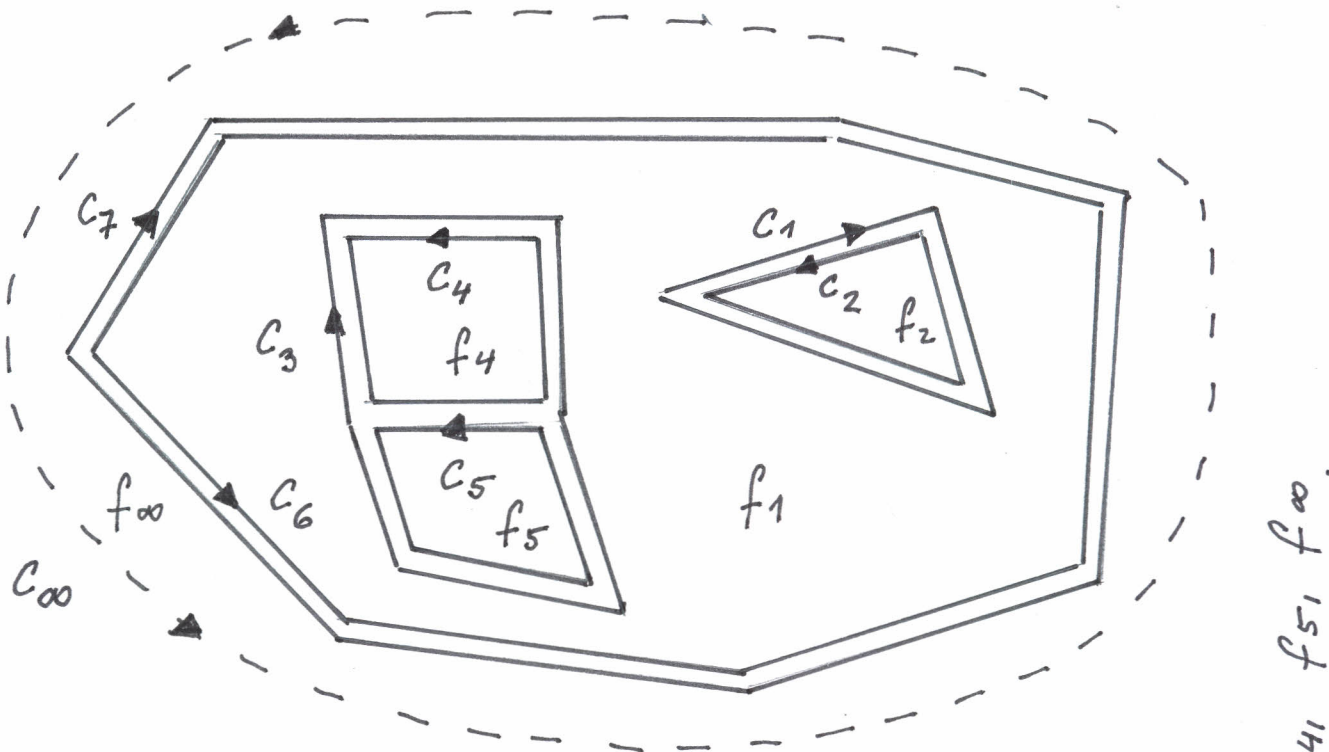
OBRAŽEK 3.6

Vnější cyklus c_1 s úhlem $\alpha < 180^\circ$. Vnitřní cyklus c_2 s úhlem $\beta > 180^\circ$



OBRAŽEK 3.7

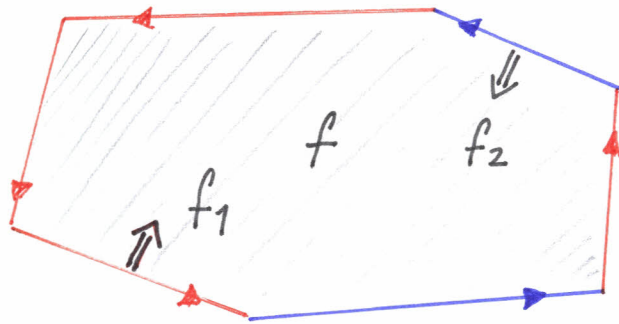
V grafu G je minimální cyklus C_1 spojen hranou
 s minimálním cyklem C_2 a ten je spojen hranou
 s největším cyklem C_3 .



OBRAŽEK 3.8

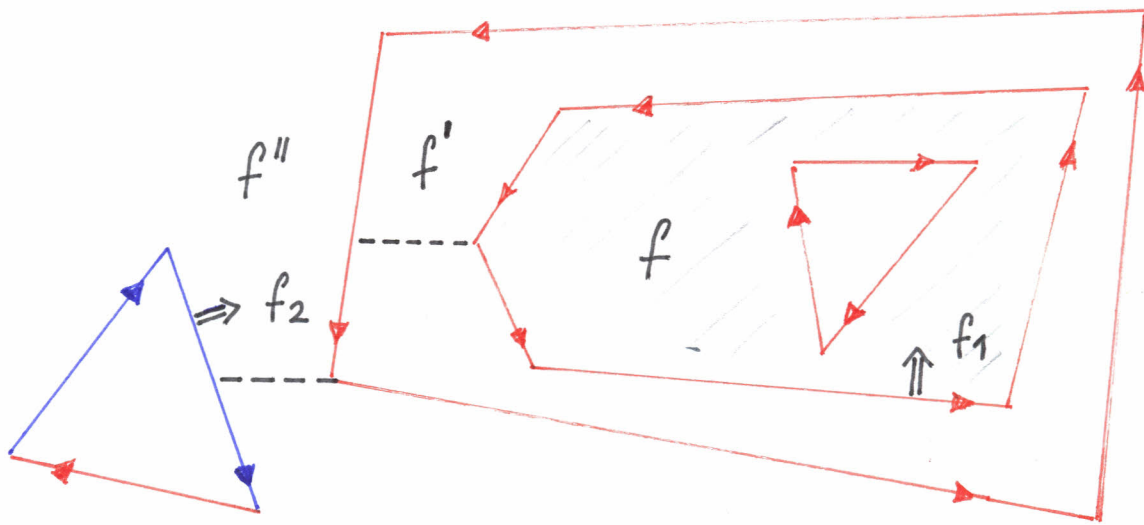
Cykly v rovinném podrozdělení a graf G , který
 vybarví. Komponentám souvislosti odpovídají oblasti

f_1, f_2, f_4, f_5, f_0



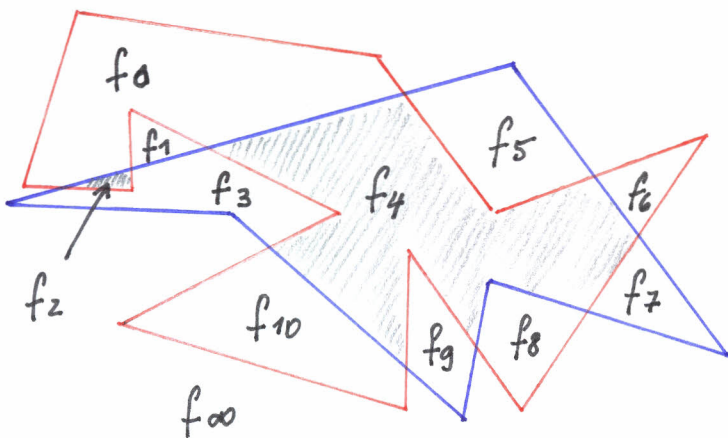
OBRAŽEK 3.9

Uvěni' původních oblastí f_1 a f_2 na oblast f



OBRAŽEK 3.10

Uvěni' původních oblastí f_1 a f_2 na oblast f



OBRAŽEK 3.11

Průnikem mnohouhelníků jsou oblasti f_2 a f_4 . Jejich sjednocením jsou oblasti f_0 a f_{10} .